

□임상가를 위한 씨리ーズ —5—□

# Jarabak의 light wire differential forces technique에 대하여

서울대학교 歯科大學 矯正學教室

徐廷勳

## IV. 診斷法

### 1. 診斷을 為한 資料

Jarabak은 診斷을 為하여 다음과 같은 資料를 積集하고 있다.

(1) 既往歴, 家族歴(Case history)

(2) 顔面寫眞

(3) 口腔內 寫眞

(4) 咬合模型

(5) 口腔內 X線寫眞

(6) 頭部 X線規格寫眞

(7) 口腔以外의 一般的 所見

(8) 頸運動

以上 各項目에 對한 診査의 焦點을 詳述한다.

#### (1) Case history

習癖, 硬組織에 生理的 影響을 미치는 疾病 및 要因이 되는 것, 食物의 嗜好性, allergy性 疾患, 呼吸機能에의 影響等

#### (2) 顔面寫眞

顔貌의 對稱性, 形態學的 特徵

#### (3) 口腔內 寫眞

齒牙의 配列狀態, 口腔清掃狀態, 咽頭附近의 健康狀態, 齒牙支持組織狀態, 齒列弓의 對稱性, 口腔內의 歯科의 處置狀況, 齒齦의 色調

#### (4) 咬合模型.

第1大臼齒 咬合狀態, 犬齒의 軸傾斜(側方齒群의 近心轉位 程度를 表示), 咬合의 對稱性, over jet, over bite, 正中線의 一致度, 齒列弓의 크기, 叢生, 齒間空隙, 前齒軸傾斜, 臼齒部의 回轉 및 軸傾斜, Curve of spee, Set-up 模型의 製作(治療目標의 設定에 따른)

#### (5) 口腔內 X線寫眞

Alveolar trabeculation, 齒根膜白線의 幅, 齒根膜腔隙, 齒槽間中隔의 높이와 形, 先天的 缺損齒, 過剩齒, 轉位齒, 特發性 齒根吸收 齒科의 治療狀態 等.

#### (6) 頭部 X線規格寫眞

① Morphogenetic pattern에 依存하는 治療限界的豫測

## 豫測

② Dentoalveolar, Skeletoalveolar, Functional malocclusion 인가를 判定

③ 治療目標의 確立

④ Suitable Mechanics 達成

⑤ 治療目標의 達成

⑥ 治療의 完成度

#### (7) 口腔以外의 一般的 所見

顔貌型, 各種全身的所見

#### (8) 頸運動

開閉運動에 依한 下頸運動範圍와 그 方向

2. 頭部 X線規格寫眞의 分析法과 實際

Jarabak은 Table 1과 같은 分析表를 使用하고 있다. 이 分析은 Björk, Downs, Holdaway, Graber, Steiner, Tweed, Wylie 等의 分析法에서 必要한 項目만을 利用하고 있다. 以上 各項目에 對하여 說明키로 한다.

(1) Saddle angle(Cranial base angle)(Fig. 1)

N-S·Ar mean  $123^\circ \pm 5^\circ$

(2) Articular angle(joint angle)(Fig. 1)

S·Ar·Go mean  $143^\circ \pm 6^\circ$

(3) Gonial angle(jaw angle)(Fig. 1)

Ar·Go·Gn mean  $130^\circ \pm 7^\circ$

(4) Sum

(1)+(2)+(3) mean  $396^\circ$

(5) Anterior cranial base length(Fig. 1)

N-S mean 73mm  $m \pm 3mm$

(6) Posterior cranial base length(Fig. 1)

S-Ar mean 37mm  $\pm 3mm$

(7) Ramus height(Fig. 1)

Ar-Go mean 53mm  $\pm 5mm$

(8) Body length(Fig. 1)

Go-Pog mean 80mm  $\pm 5mm$

(9) Mandibular body to anterior Cranial base

Ratio (5):(1) mean 1:1

(22) Chin angle(Fig. 1)

Table 1.

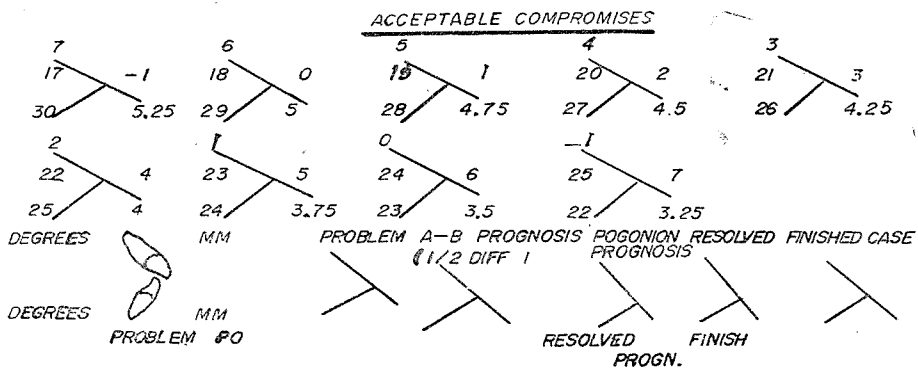
## LOYOLA UNIVERSITY CEPHALOMETRIC ANALYSIS

Dr. J.R. Jarabak, Chairman, Department of Orthodontics

Student

Instructor

Patient Born	Date Taken	Average(Stan.Dev.)						
Saddle Angle	123°	(±5)						
Articulare Angle	143°	(±6)						
Gonial Angle	130°	(±7)						
Sum	396°							
Anterior Cranial Base Length	73mm	(±3)						
Posterior Cranial Base Length	37mm	(±3)						
Ramus Height	53mm	(±5)						
Body Length	80mm	(±5)						
Mandibular Body to Anterior Cranial Base Ratio	1:1							
SNA	80°	(±1)						
SNB	78°	(±1)						
ANB Difference	2°							
Facial Depth Angle								
GO Gn Sn	32°							
"Y" Axis	59.4°							
FMA	25°							
I to FH	112°							
I to SN	103°							
Interincisal Angle	135.4°	(±58)						
I to NA(Angular)	22°							
L to NA(Linear)	4mm							
Chin Angle	64°	(±6)						
FMIA	65°							
IMPA	90°							
L to NB(Angular)	25°							
L to NB(Linear)	4mm							
PO to NB	4mm							
I to PO(Holdaway) Ratio	1:1							
NA to PO(Downs)	0°							



Steiner Analysis (mm)		
Steiner Analysis	+	-
Correct Arch Form Relocates		
Discrepancy		
Expansion		
Relocation		
Relocation		
Intermaxillary		
Curve of Spee		
Total Net'		
Extraction case (mm gained)		
Total Net(mm)		
Following Extraction		

Tweed Analysis			
	FMA	FMIA	IMPA
Ideal	25	65	90
Present			
Desired			
Correction factor in degrees			
Correction factor(mm) Imm/25° %2			
Discrepancy(entire arch)(mm)			
Curve of Spee(mm)			
Total arch Length needed (mm)			
Extraction case			
Total Net Following Extraction			

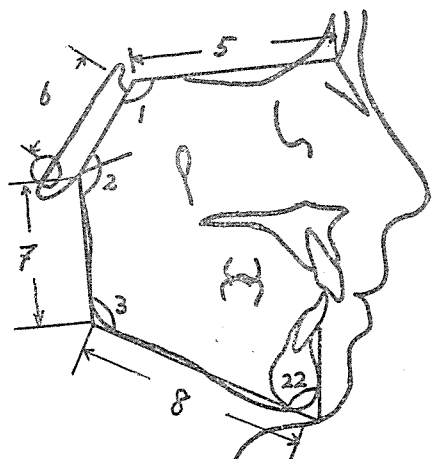


Fig 1.

Go·Gn-id Pog mean  $64^\circ \pm 6^\circ$

(1)~(9), (22)項目은 Björk 의 分析法中에서 Prognathism 의 成立에 關聯되는 要因을 指한 것이다. 即

Saddle angle의 縮少, Joint angle의 縮少, Jaw angle의 縮少, Chin angle의 增大, Anterior cranial base의 短少, Jaw angle의 縮少, Chin angle의 增大, Anterior Cranial base의 短少, Ramus height의 增大, Mandibular body length의 增大 等의 單獨或複合된 影響이 Facial prognathism의 成立에 重要한 意味를 갖고 있다. Jarabak은 上記 計劃項目에서 認められる 頭貌型에서 發育의 方向을 豫測하여 前方方向成分이 強한 境遇에는 非拔齒症例로 하고 垂直方向成分이 強한 境遇는 拔齒症例로서 治療되는 傾向이 많다. 그 基準의 根源은 Saddle angle, Articular angle, Gonial angle의 合計値가  $405^\circ$  以上인 時는 垂直發育(Vertical growth)成分이 強한 症例이며  $390^\circ$  以下인 時는 前方發育(Horizontal growth)成分이 強한 症例로 하고 있다.

(10) SNA(Fig. 2) mean  $80^\circ \pm 1^\circ$

頭蓋에 對한 上頸基底의 關係를 나타낸다.  $80^\circ \pm 1^\circ$  인 時는 正常,  $76^\circ \sim 55^\circ$  인 때는 上頸基底의 後方位,  $82^\circ$  以下인 時는 前方位라고 본다. 그러나 Jarabak은 A點을 上頸中切齒齒根端의 2 mm 前方位에 置고 있다.

(11) SNB(Fig. 2) mean  $78^\circ \pm 1^\circ$

頭蓋에 對한 下頸基底의 關係를 나타내고 있다.  $78^\circ \pm 1^\circ$  인 時는 正常,  $76^\circ \sim 60^\circ$  인 時는 下頸基底의 後方位,  $80^\circ \sim 90^\circ$  인 時는 前方位로 본다.

(12) ANB difference mean  $2^\circ$

SNA에서 SNB를 뺀 것이다. 上頸, 下頸基底의 相互關係를 보아 Skeletodentoalveolar pattern을 評價하는데 쓰인다.

(13) Facial depth angle(Fig. 2)

N·Go—Mand·Plane

(14) Go·Gn·SN(Fig. 2) mean  $32^\circ$

(15) Y axis(Fig. 2)

S·Gn—FH Plane mean  $59.4^\circ$

(16) FMA(Fig. 2)

Mandibular plane—FH plane mean  $25^\circ$

(10)~(16)까지의 項目은 頭蓋에 對한 上頸骨下緣의 傾斜度를 나타낸다. 이 傾斜度는 下頸骨의 發育方向을 豫測하는 要因으로서 重要視되고 있다.

Facial depth angle이  $65^\circ$  以下인 때는 前方發育(Horizontal growth)倾向이 크며  $90^\circ$  以上일 時는 極度의 開咬症例라고 볼 수 있다.

Go·Gn·SN은 大端히 意味가 있는 項目으로서 Jarabak은 Saddle angle, Joint angle, Jaw angle의 合計値로서 拔齒, 非拔齒에 對하여 말하고 있으나 이

를幾何學의으로 解析하면 이 合計에서  $360^{\circ}$ 를 뺀것이 Go·Gn·SN의 角度에 該當함으로 臨床的으로는 이 角度만으로서 Jarabak의 拔齒基準이 된다. 即  $405^{\circ} - 360^{\circ} = 45^{\circ}$  以上인 時는 垂直方向으로 發育하는 成分이 있음으로 拔齒症例에 屬하며  $390^{\circ} - 360^{\circ} = 30^{\circ}$  以下인 時는 前方 發育成分이 있음으로 非拔齒症例로 된다.

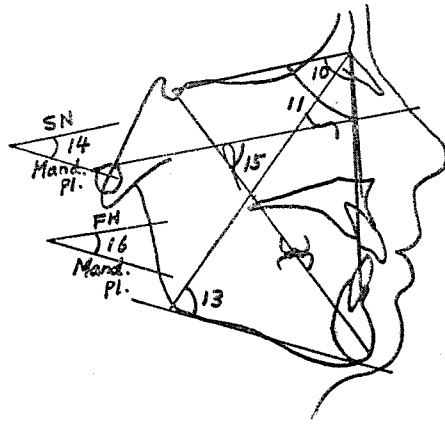


Fig. 2.

(17)  $\perp$  to FH mean  $112^{\circ}$  (Fig. 3)

(18)  $\perp$  to SN mean  $103^{\circ}$  (Fig. 3)

(17)(18)項目은 頭蓋에 對한 上顎前齒의 軸傾斜를 말하며 이 角度는 治療에 있어 나타나는 上顎前齒의 torque control에 關하여 參考가 된다.

(19) Interincisal (angular) mean  $135.4^{\circ} \pm 5.8$  (Fig. 3)

(20)  $\perp$  to NA(angular) mean  $22^{\circ}$  (Fig. 3)

(21)  $\perp$  to NA(linear) mean 4mm (Fig. 3)

(20)(21)의 項目은 Steiner의 分析法에서 擇한 것

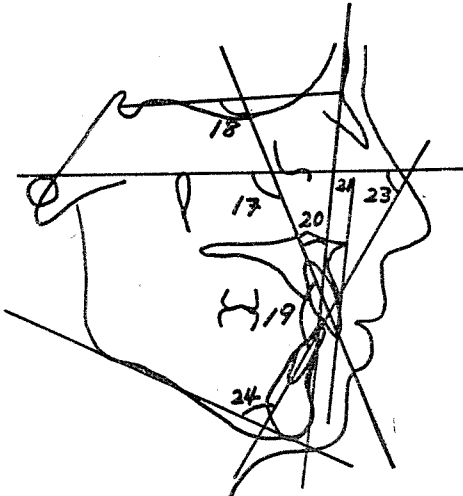


Fig. 3.

으로 上顎前齒 軸軸의 基準이 되고 있다.

(23) FMIA(Fig. 3)

$\overline{I}$  Axis·FH plane mean  $65^{\circ} \pm 5^{\circ}$

(24) IMPA mean  $65^{\circ} \pm 5^{\circ}$  (Fig. 3)

$\overline{I}$  axis·Mand·plane mean  $90^{\circ} \pm 5^{\circ}$  (Fig. 3)

(23)(24)의 項目은 Tweed의 分析法에서 擇한 것으로 FMA와 같이 拔齒基準이 된다.

(25)  $\overline{I}$  to NB(angular) mean  $25^{\circ}$  (Fig. 4)

(26)  $\overline{I}$  to NB(linear) mean 4mm (Fig. 4)

(27) Po to NB mean 4mm (Fig. 4)

(25)(26)(27)項目은 Lindquist의 分析法에서 擇한 것으로 (25)(26)項目은 下顎前齒의 軸傾斜를 評價하는데 使用된다.

(28)  $\overline{I}$  to Po Ratio mean 1 : 1

NB plane에 對한 下顎前齒切緣과 Pogonion과의 距離의 比를 말한다. 이것은 Holdaway의 分析에 依한 것으로 이 比가 1:1인 때 最良으로 profile의 調和를 이루게 된다고 한다. (2:1... acceptable, 3:1... poor)

(29) NA to Po mean  $0^{\circ}$  (Fig. 4)

NA line과 A·Po line으로 이루어진 角으로서 Downs法의 Convexity와 同一한 角이다.

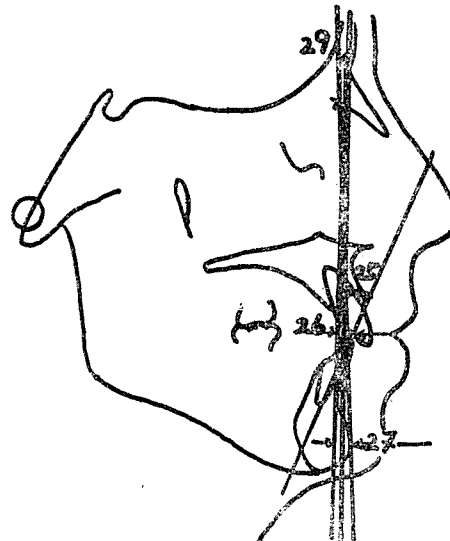


Fig. 4.

以上的 諸項目以外에 Ricketts의 分析法에 依한 下顎骨形態의 分析이 考慮되나 日常의 臨床上基本的分析中에서는 크게 關與되지 않음으로 省略한다.

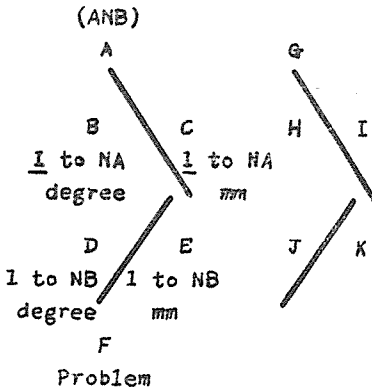
### 3. 咬合模型에서의 分析(Discrepancy의 計測)

(1) 兩側犬齒間의 部位에서 計測하기에 너무 적은 broken contact이 있는 境遇는 각각  $-1\text{ mm}$ 로서 算定한다.

- (2) 兩側犬齒間의 部位에서 큰 broken contact이 있을 때는 각각 重複部를 計測한 數値를 算出한다.
- (3) 白齒部에서의 broken contact은 實測한다.
- (4) Lee way space가 存在할 때(利用이 諸境遇 +1·1/2 mm로 算定).

- (5) 白齒部에서 回轉이 있을 境遇 +1 mm로 算定.
- (6) Space가 있을 境遇는 實測하여 十側에 算定
- (7) Spee 鷺曲에 對하여서는 前齒切緣과 第1大白齒咬頭로서 이루어진 平面에서 白齒部의 最深咬頭項까지

Table 2



**Problem**

의 G에 記入한다. 이 G에 記入한 值를 Acceptable compromise의 ANB의 值에서 引出하여 여기에 該當하는 HIJK의 值를 찾아낸다.

(3) 下의 值에서 患者的 年令 即 治療中에 일어나는 Pogonion 部의 成長變化를 考慮하여 P의 值를 決定한다. 다음 Holdaway에 依하면 P=O로 하여 O의 值가 決定된다. 이 O의 值에 相應하는 N의 值를 Acceptable compromise表에서 比例配分으로 찾а낸다. 또한 M의 值는 O-(K-I)의 式으로 算出하며 이 值에 相應하는 L의 值를 Acceptable compromise表에서 찾는다.

(4) 以上的 結果에서 resolved를 算出한다. 即 Q=G, P=V로 하고 S= $\frac{I+M}{2}$ , U= $\frac{K+O}{2}$ 로 하며 이 S, U에 相應하는 R, T의 值는 R= $\frac{H+L}{2}$ , T= $\frac{J+N}{2}$ 으로 算出한다.

(5) **Correct arch form relocation  $\overline{I}$** : 計測으로 使用된 下頸前齒가 極端으로 齒列에서 나와 있어下頸前齒部의 平均的 位置를 나타내지 않을 때는  $\overline{I}$  to NB의 值를 修正하지 않으면 안된다. 그 修正值를 記入한다. 이項目은 거의 無視하는 傾向이 많다.

(6) **Discrepancy**: 咬合模型에서 일어진 [(1)~(6)] 值를 + 或은 -에 記入한다.

(7) **Expansion**: 齒列擴大의 症例에 있어서는 그

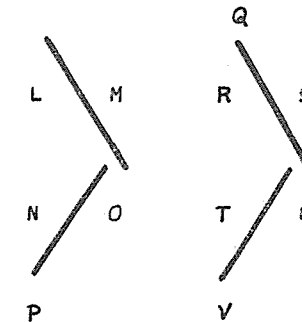
의 距離를 計測하여 一測에 算定한다.

上記의 各 項目을 加算하여 Discrepancy를 算出한다.

#### 4. Steiner 分析表의 使用法

(1) 주어진 患者の 頭部 X-線規格寫眞計測點值에서 ANB,  $\perp$  to NA(angular),  $\perp$  to NA(linear),  $\overline{I}$  to NB(Angular),  $\overline{I}$  to NB(linear), Po to NB의 值는 problem 表의 A, B, C, D, E, F에 각각 記入한다.

(2) 患者の ANB 值의 1/2 值에 1°를 加한 值를 表



可能한 推定量은 十側에 記入한다.

(8) **Relocation  $\overline{I}$** : 前記 diagram에서  $\overline{I}$  to NB (mm)의 problem과 resolved間의 差에相當되게下頸前齒를 後方으로 移動시켜야 한다. 이 影響은 兩側에 미침으로 이 值를 2倍하여 一侧에 記入한다.

(9) **Relocation  $\overline{I}$** : 第1大白齒가 第一 顯著하게前傾되어진 때는 이를 upright 시킴으로서 space를 얻을 수 있다. 이 量을 十側에 記入한다. 그러나 通常限度는 一侧에 2 mm程度라고 한다.

(10) **Intermaxillary**: 通常 Class II div. I의 治療를 為하여 使用되는 頸間고무에 依하여下頸第1大白齒는 前方으로 移動되며 때문에 齒列弓의 길이가 작아진다. 이 量은 大概 2 mm程度로서 兩側 4 mm程度 一侧에 記入한다.

(11) **Curve of spee**: 咬合模型에서 計測하여 (7)項目에 該當하는 量을 leveling으로서 얻어지는 齒列弓의 길이의 增加量으로서 一侧에 記入한다.

(12) **Total net**: 以上 (6)~(11)까지의 總和를 記入한다. 이 值가 3 mm以下인 때는 이 表에서의 分析은 非拔齒 症例로서 治療한다.

(13) **Extraction case**: (12)項目의 結果, 拔齒症例인 때는 通常 第1小臼齒拔齒를 假定하여 大臼齒의 移動을 頸外固定法 等으로 處置하여 防止하여야만 할 境遇 拔齒空隙에서 約 1/3은 大臼齒의 前方移動으로消失케 된다. 拔齒하는 齒牙의 幅徑을 十側에, 그 1/3

을一侧에記入한다.

(14) Total net following extraction: 以上的總和를求한다. 이 差가 零에 가까우면 第1小白齒를 拔齒한다. 或不足될만큼 큰 差가 있으면 大臼齒를 拔齒케 된다.

#### 5. Tweed 分析表의 使用法

(1) Present: 患者の FMA, FMIA, IMPA 를 記入한다.

(2) Desired: FMA 는 患者の 計測을 그대로 記入한다.

(3) Correction factor in degree: present 와 desired 의 IMPA 의 差를 記入한다.

(4) Correction factor: 前項의 角度를  $2.5^\circ = 1$  mm 로 換算하여 下顎前齒의 舌側 或은 脣側으로 그 移動量을 記入한다.

(5) Discrepancy: Tweed 의 discrepancy 의 計測法과 Jarabak 的 것과는多少 다른 点이 있으나 여기서는 Jarabak 法에 依하여 Steiner 法의 것을 應用한다.

(6) Curve of Spee: Steiner 法에 準함.

(7) Total arch length needed: (4)~(6)의 總和를 記入한다.

(8) Extraction case: 拔齒하는 幅徑을 記入한다.

(9) Total net following extraction: (7)과 (8)의 總和를 記入.

#### 6. Jarabak 法에 있어서의 拔齒基準

前述한 바와 같이 資料分析法中에서 어느 点이 着案되었거나 即 Jarabak 은 下記와 같은 時는 非拔齒 症例로 한다.

(1) 下顎前齒가 거의 apical base 上에 있을 것.

(2) Curve of spee 가 그리 크지 않다.

(3) 下顎齒列弓의 discrepancy 는 3 mm 以下

(4) FMA  $20^\circ \sim 30^\circ$

(5) Class II의 咬合關係程度가 第2小白齒幅徑의  $\frac{2}{3}$  以下

(6) 上顎前齒部에 空隙이 있고 過度로 脣側傾斜가 되지 않을 것.

(7) Saddle angle, joint angle, Jaw angle의 合計가  $390^\circ$  以下

(8) Steiner 分析, Tweed 分析에서 total net 가 그리 크지 않은 差일 것.

p. 349의 II. Light wire technique의 種類는 III.

Ja-rabak 法의 背景임.

(다음號에는 器材와 構造에 對하여 쓰기로 한다.)

## 各種 齒科機械 및 材料 買賣

◎ 迅速配達

◎ 品質保證

보통 齒科材料商社

代表 李英輔

서울 中區 南大門路 5街 12의 8

전화 (22) 2974